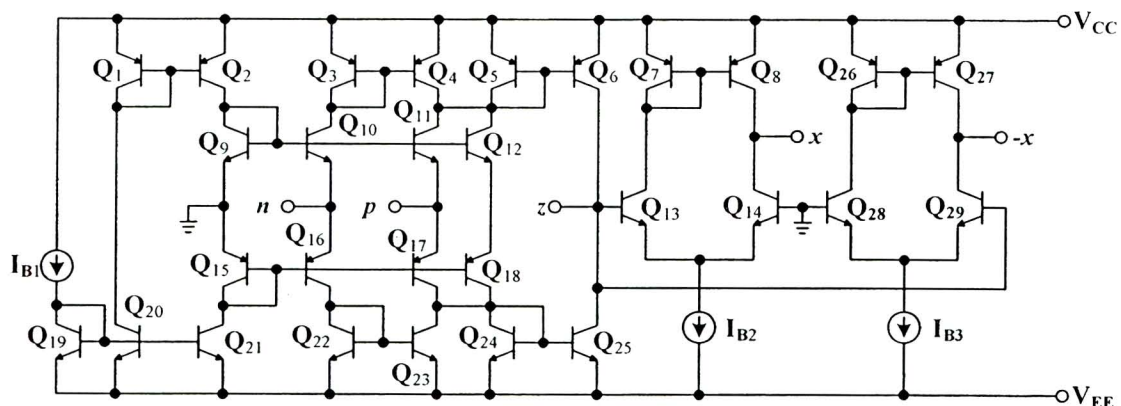


## บทที่ 4

### ผลการจำลองและทดสอบการทำงาน

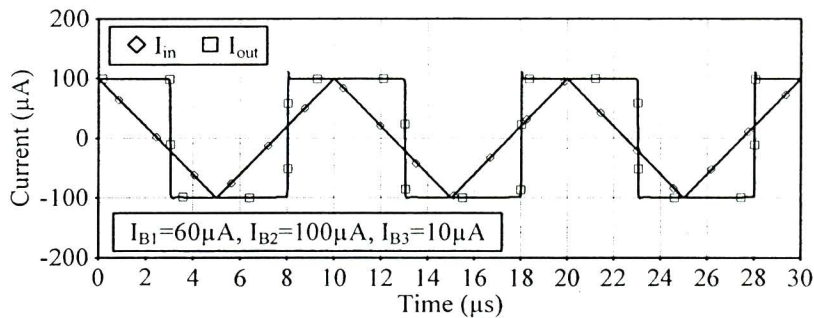
เพื่อเป็นการทดสอบสมรรถนะของวงจรนิมิต์ทริกเกอร์ที่ใช้ MO-CCCDTA และวงจรประยุกต์ใช้งานที่ได้จากการวิจัยไว้ในงานวิจัยนี้ ทั้งหมด จึงได้จำลองการทำงานและการทดสอบวงจรจริงจากที่ได้กล่าวไว้แล้วในบทที่ 3 โดยการจำลองการทำงานของวงจรกระทำด้วยโปรแกรม PSpice สำหรับทรานซิสเตอร์ PNP และ NPN ที่ใช้ในการจำลองการทำงานของวงจรได้ใช้พารามิเตอร์ของไบโพลาร์ทรานซิสเตอร์เบอร์ PR200N และ NR200N ตามลำดับซึ่งเป็นทรานซิสเตอร์อาร์เรย์ ALA400 ของ AT&T (Frey, 1993) ซึ่งค่าพารามิเตอร์ของทรานซิสเตอร์ทั้งหมดแสดงในภาคผนวก (ข) พร้อมทั้งการทดสอบต่อวงจรจริง ในภาพที่ 4-1 เป็นโครงสร้างภายในของ MO-CCCDTA ที่ใช้ในการทดสอบการทำงานทั้งหมด โดยกำหนดให้วงจรทำงานที่แรงดันไฟเดียว  $\pm 1.5V$  โดยได้ทำการทดสอบผลของงานวิจัยดังรายละเอียดต่อไปนี้



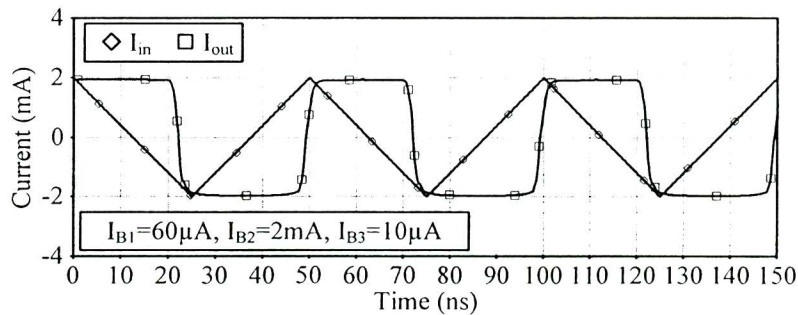
ภาพที่ 4-1 โครงสร้างภายในของ MO-CCCDTA ที่ใช้ทดสอบการทำงาน

#### 4.1 ผลการจำลองและทดลองการทำงานของวงจรชีมิตต์ทริกเกอร์ที่ใช้ MO-CCCDTA

##### 4.1.1 ผลการจำลองการทำงานของวงจรชีมิตต์ทริกเกอร์ที่ใช้ MO-CCCDTA



(ก)

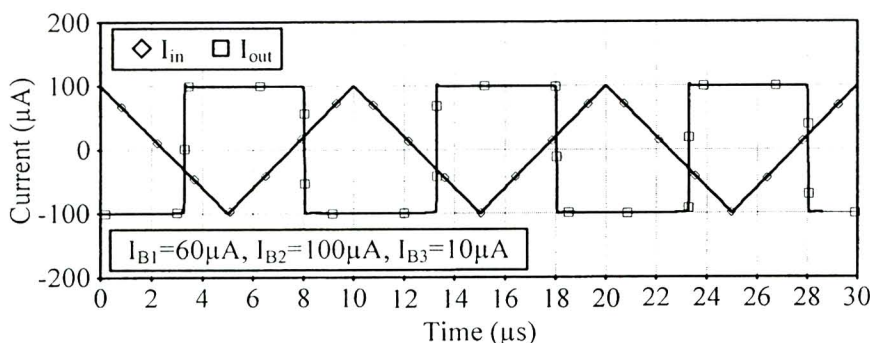


(ข)

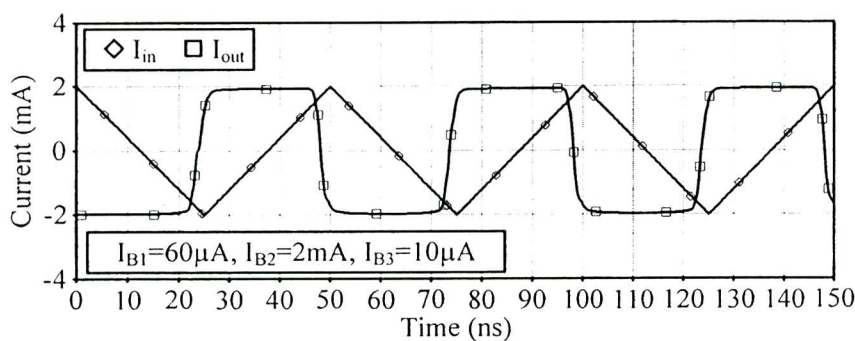
ภาพที่ 4-2 การเปรียบเทียบสัญญาณอินพุตกับเอาต์พุตของวงจรชีมิตต์ทริกเกอร์แบบทวนเข็มนาฬิกาเมื่อมีการเปลี่ยนแปลงความถี่ของสัญญาณอินพุต ที่ (ก) 100kHz (ข) 20MHz

หัวข้อนี้แสดงผลการจำลองการทำงานของวงจรชีมิตต์ทริกเกอร์โใหมดกระແສที่แสดงในภาพที่ 3-2 จากผลการจำลองภาพที่ 4-2 และ 4-3 แสดงการเปรียบเทียบสัญญาณอินพุตกับเอาต์พุตที่ได้จากวงจรชีมิตต์ทริกเกอร์แบบทวนเข็มนาฬิกาและแบบตามเข็มนาฬิกา ตามลำดับ เมื่อมีการเปลี่ยนแปลงความถี่ของสัญญาณอินพุต จะเห็นได้ว่า วงจรที่ได้จากการวิจัยสามารถทำงานได้ในย่านความถี่กว้างถึงระดับ 20MHz โดยสัญญาณไม่ผิดเพี้ยน ส่วนภาพที่ 4-4 แสดงผลตอบสนองทางความถี่ของวงจรที่ได้จากการวิจัย พบว่างานชีมิตต์ทริกเกอร์แบบทวนเข็มนาฬิกามีความถี่คัดอ่อนที่ได้จากการจำลองประมาณ 37.12MHz ส่วนของวงจรชีมิตต์ทริกเกอร์แบบตามเข็มนาฬิกาเท่ากับ

35.61MHz ภาพที่ 4-4 และ 4-5 แสดงสัญญาณเอาต์พุตและลักษณะสมบัติการส่งถ่ายทางไฟตรงตามลำดับ เมื่อมีการเปลี่ยนค่า  $I_{B2}$  สามค่า  $30\mu A$   $60\mu A$  และ  $90\mu A$  จะเห็นได้อบ้างชัดเจนว่า ขนาดสัญญาณเอาต์พุตสามารถควบคุมได้ด้วย  $I_{B2}$  ซึ่งสอดคล้องที่วิเคราะห์ไว้ในบทที่ 3 ผลการจำลองที่แสดงสัญญาณเอาต์พุตและการเพลกนัมจะสอดคล้องกับที่ได้จากการวิจัย เมื่อเปลี่ยนแปลง  $I_{B3}$  ดังภาพที่ 4-7 และ 4-8 ตามลำดับ จะพบว่ากระแสเข้าเริ่มต้นสูงและต่ำสามารถควบคุมได้ด้วยวิธีทางอิเล็กทรอนิกส์ โดย  $I_{B3}$  และจากผลการจำลองที่แสดงไว้ในภาพที่ 4-5 ถึง 4-8 สามารถสรุปได้ว่า การควบคุมขนาดของสัญญาณเอาต์พุต กระแสเข้าเริ่มต้นสูงและต่ำ สามารถควบคุมได้ด้วยวิธีทางอิเล็กทรอนิกส์และเป็นอิสระจากกัน โดยขนาดและกระแสเข้าเริ่มสามารถควบคุมได้ด้วย  $I_{B2}$  และ  $I_{B3}$  ตามลำดับ

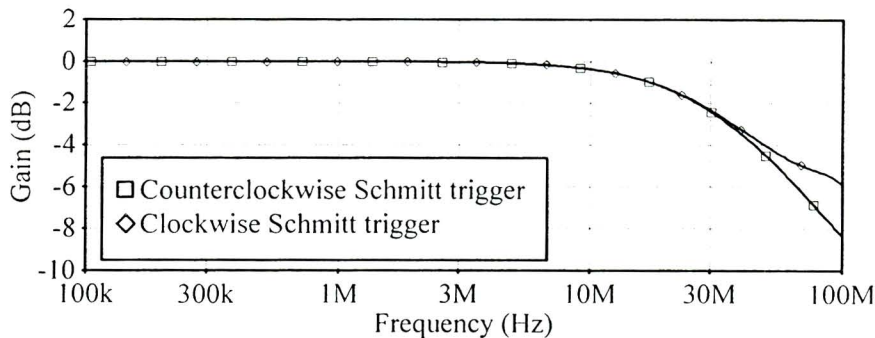


(ก)

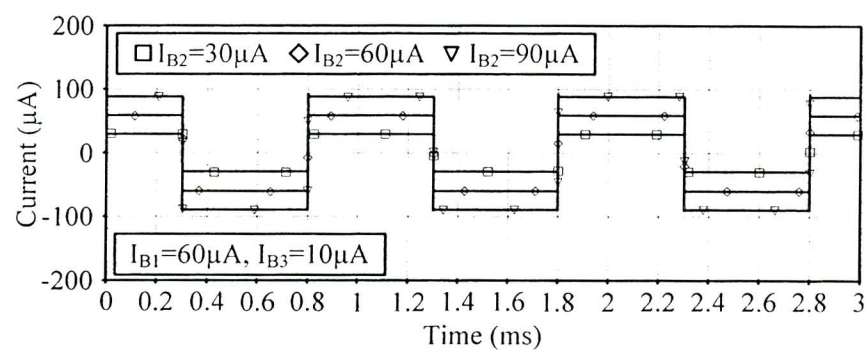


(ข)

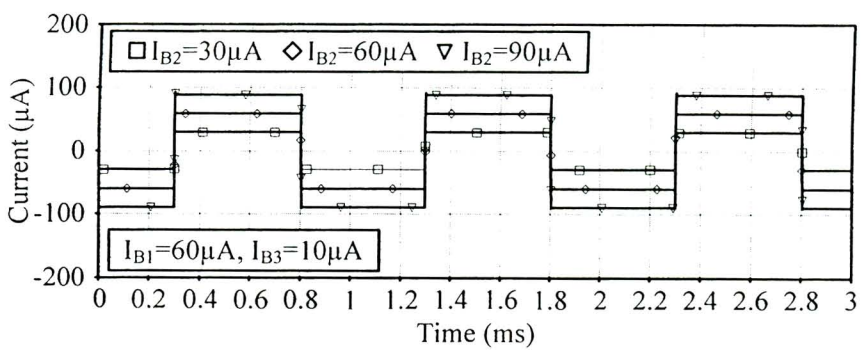
ภาพที่ 4-3 การเปรียบเทียบสัญญาณอินพุตกับเอาต์พุตของวงจรชนิดต์ทริกเกอร์แบบตามเข็มนาฬิกาเมื่อมีการเปลี่ยนแปลงความถี่ของสัญญาณอินพุต ที่ (ก) 100kHz (ข) 20MHz



ภาพที่ 4-4 ผลตอบสนองทางความถี่ของวงจรมิคต์ทริกเกอร์แบบทวนเข็มนาฬิกาและแบบตามเข็มนาฬิกา



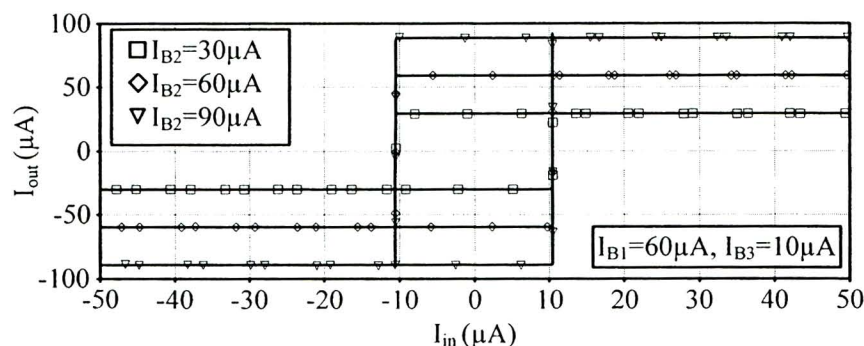
(ก)



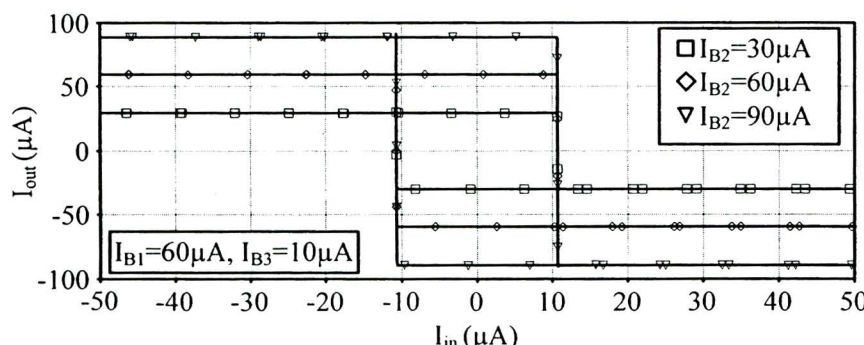
(ข)

ภาพที่ 4-5 สัญญาณอาต์พุตเมื่อเปลี่ยนแปลง  $I_{B2}$  ของ (ก) วงจรมิคต์ทริกเกอร์แบบทวนเข็มนาฬิกา (ข) วงจรมิคต์ทริกเกอร์แบบตามเข็มนาฬิกา

ภาพที่ 4-9 แสดงสัญญาณเอาต์พุตเมื่ออุณหภูมิเปลี่ยนแปลง ส่วนภาพที่ 4-10 และ 4-11 แสดงอัตราการคลาดเคลื่อนของขนาดและกระแสขีดเริ่มของสัญญาณเอาต์พุต พบว่าขนาดและกระแสขีดเริ่มของสัญญาณเอาต์พุตมีการเปลี่ยนแปลงเพียงเล็กน้อย เมื่อมีการเปลี่ยนแปลงของอุณหภูมิ ทั้งนี้เนื่องจากความไม่เป็นอุณหภูมิติดของ MO-CCCDTA ที่ได้วิเคราะห์ไว้ในบทที่ 3 ซึ่งทั้งสองวงจร มีอัตราการคลาดเคลื่อนของขนาดสัญญาณเอาต์พุตเท่ากับ  $-0.645\%$  ถึง  $1.226\%$  ส่วนอัตราการคลาดเคลื่อนของกระแสขีดเริ่มด้านสูงและด้านต่ำของทั้งสองวงจรเท่ากับ  $-1.218\%$  ถึง  $2.502\%$  และ  $-2.314\%$  ถึง  $0.523\%$  ตามลำดับ และผลการจำลองที่แสดงขนาดของกระแสขีดเริ่มด้านสูงและด้านต่ำของวงจรชนิดต์ทริกเกอร์แบบทวนเข็มนาฬิกาและตามเข็มนาฬิกา เมื่อเปลี่ยนแปลง  $I_{B3}$  จาก  $0\mu A$  ถึง  $100\mu A$  ดังภาพที่ 4-12

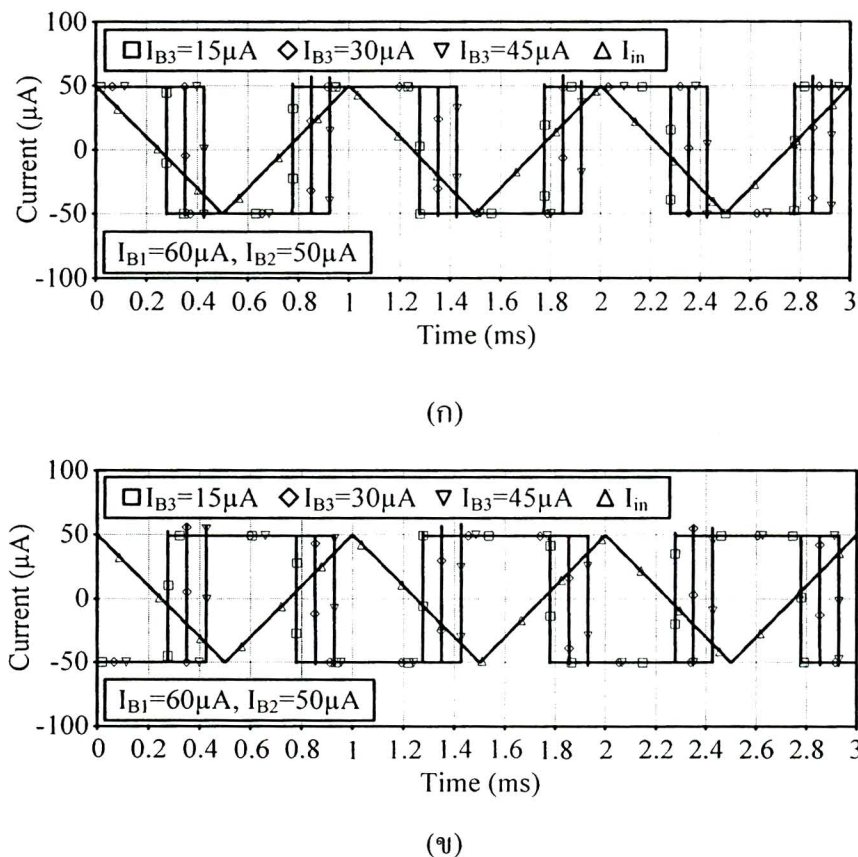


(n)

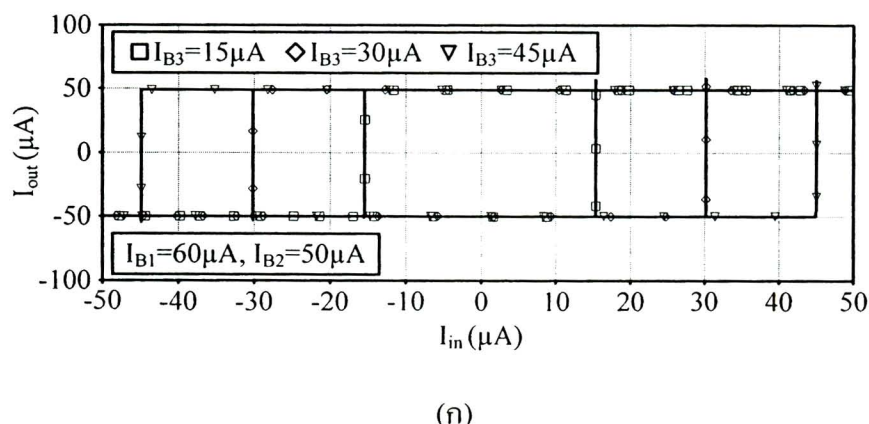


(u)

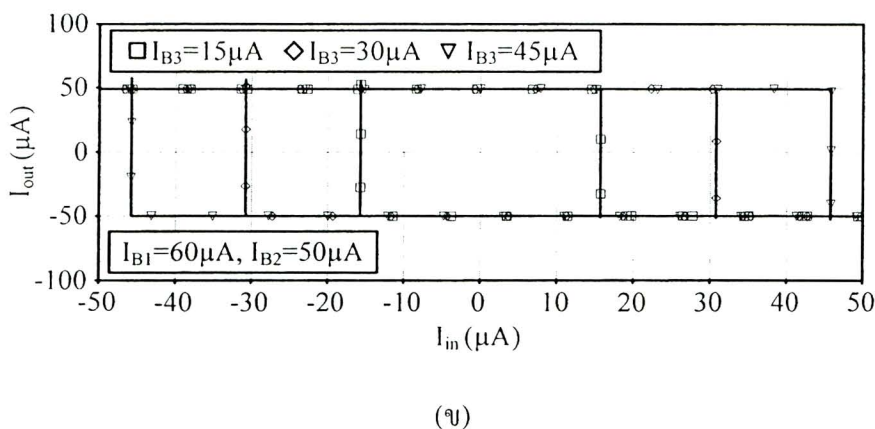
ภาพที่ 4-6 กราฟลักษณะสมบัติถ่ายโอนทางไฟตรง เมื่อเปลี่ยนแปลง  $I_{B2}$  ของ (ก) วงจรชนิดต์ทริกเกอร์แบบทวนเข็มนาฬิกา (ข) วงจรชนิดต์ทริกเกอร์แบบตามเข็มนาฬิกา



ภาพที่ 4-7 สัญญาณเอาต์พุตเมื่อเปลี่ยนแปลง  $I_{B3}$  ของ (ก) วงจรชัมิตต์ทริกเกอร์แบบทวนเข็มนาฬิกา (ข) วงจรชัมิตต์ทริกเกอร์แบบตามเข็มนาฬิกา

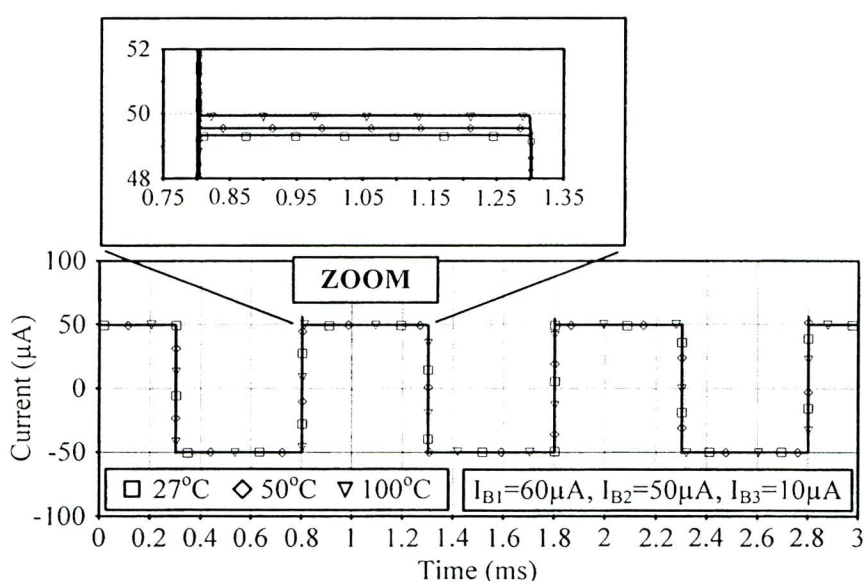


ภาพที่ 4-8 กราฟลักษณะสมบัติถ่ายโอนทางไฟตรงเมื่อเปลี่ยนแปลง  $I_{B3}$  ของ (ก) วงจรชัมิตต์ทริกเกอร์แบบทวนเข็มนาฬิกา (ข) วงจรชัมิตต์ทริกเกอร์แบบตามเข็มนาฬิกา



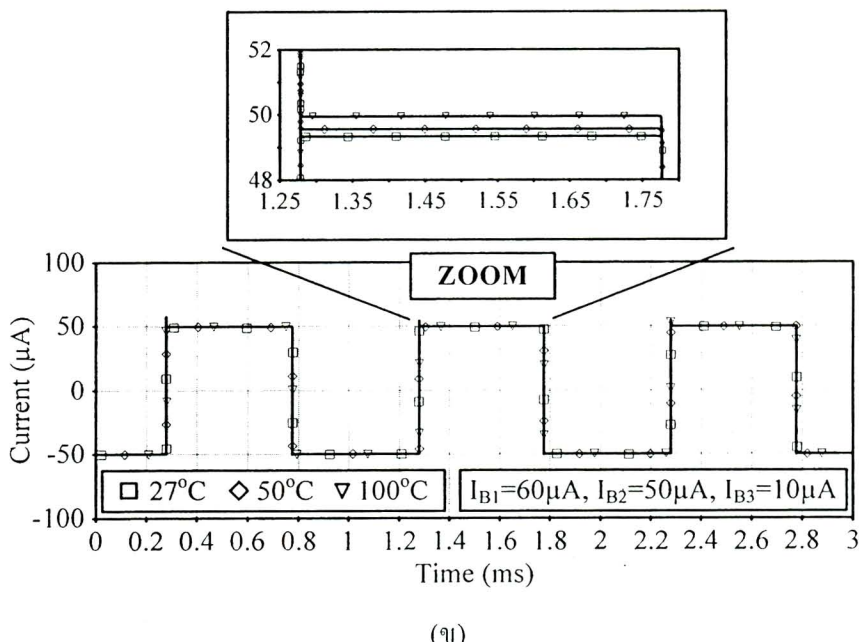
(u)

ภาพที่ 4-8 (ต่อ)



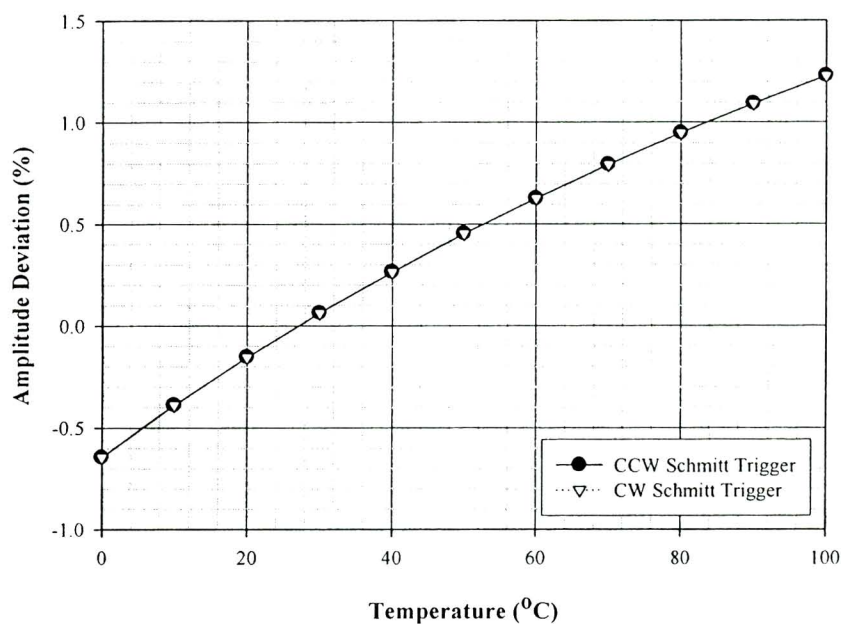
(k)

ภาพที่ 4-9 สัญญาณเอาต์พุตเมื่อเปลี่ยนแปลงอุณหภูมิของ (ก) วงจรชัมมิตต์ทริกเกอร์แบบทวนเข็มนาฬิกา (ข) วงจรชัมมิตต์ทริกเกอร์แบบตามเข็มนาฬิกา

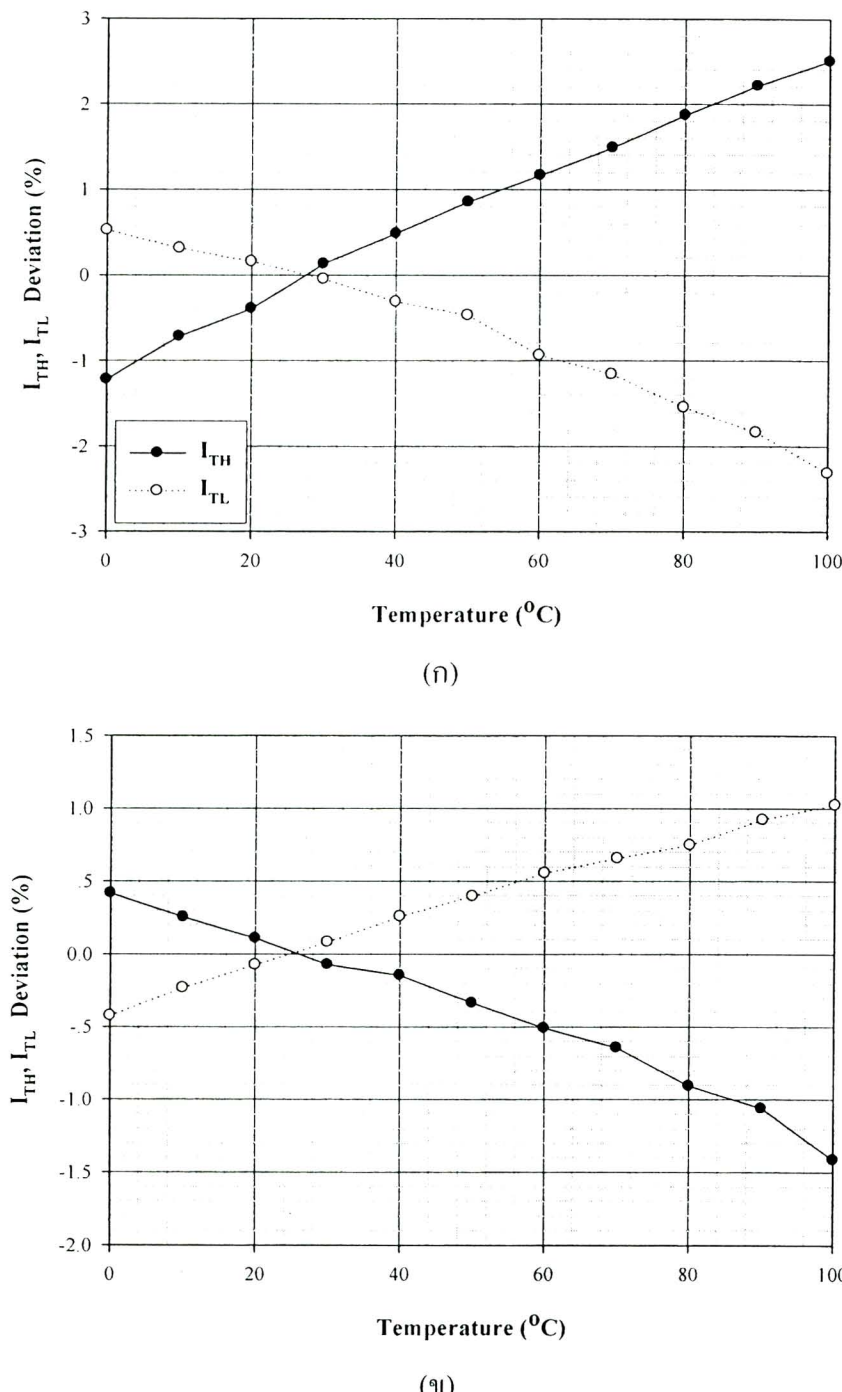


(ุ)

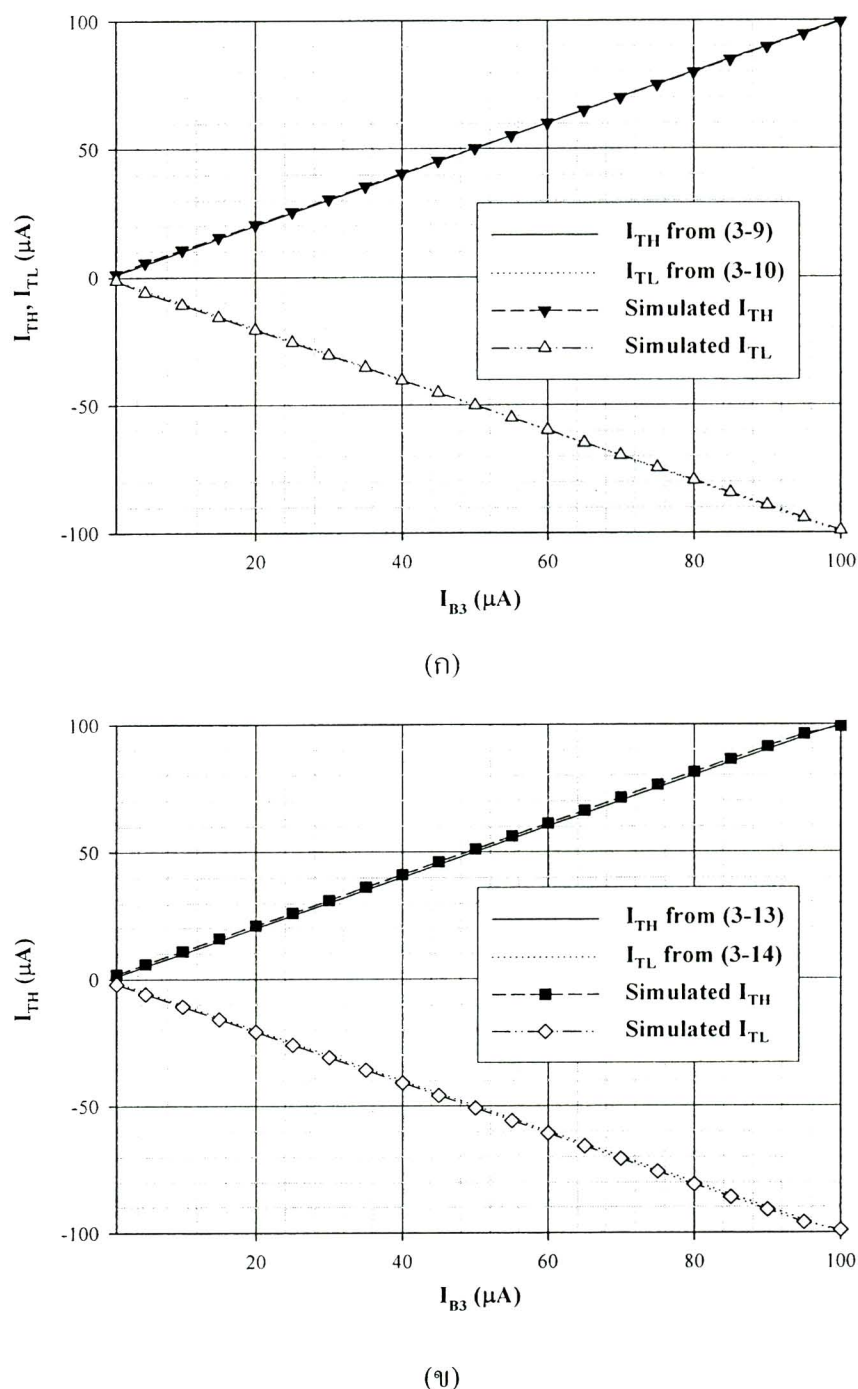
ภาพที่ 4-9 (ต่อ)



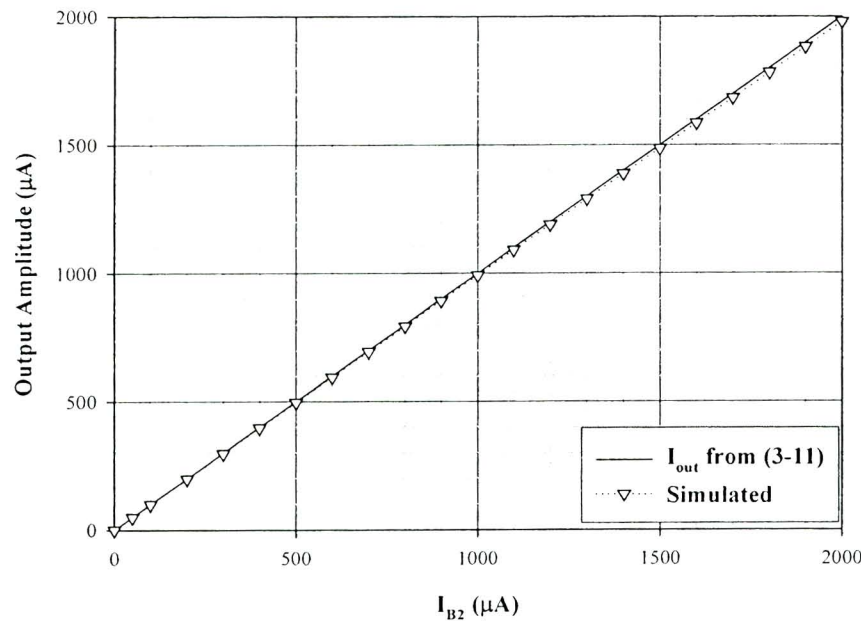
ภาพที่ 4-10 อัตราการคลาดเคลื่อนของขนาดสัญญาณเอาต์พุต เมื่ออุณหภูมิเปลี่ยนแปลงจาก  $0^\circ\text{C}$  ถึง  $100^\circ\text{C}$  ของวงจรชั้มมิตต์ทริกเกอร์แบบทวนเข็มนาฬิกาและแบบตามเข็มนาฬิกา



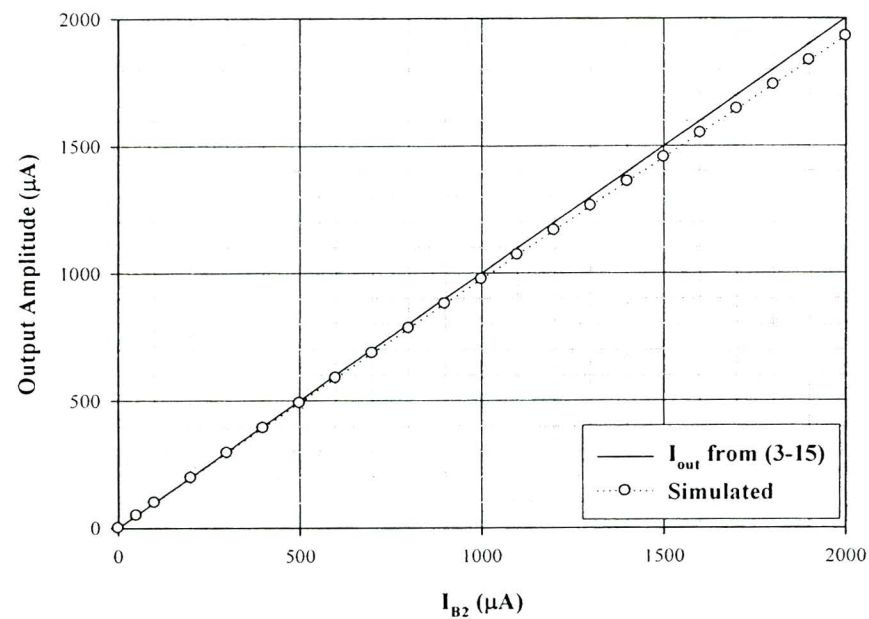
ภาพที่ 4-11 อัตราการคลาดเคลื่อนของกระแสสีดเริ่มด้านสูงและต่ำ เมื่ออุณหภูมิเปลี่ยนแปลงจาก  $0^{\circ}\text{C}$  ถึง  $100^{\circ}\text{C}$  ของ (ก) วงจรชmitt์ทริกเกอร์แบบทวนเข็มนาฬิกา (ข) วงจรชmitt์ทริกเกอร์แบบตามเข็มนาฬิกา



ภาพที่ 4-12 ขนาดของกระแสเส้นด้านสูงและต่ำ เมื่อเปลี่ยนแปลง  $I_{B3}$  จาก  $0 \mu A$  ถึง  $100 \mu A$   
 ของ (ก) วงจรชัมมิตต์ทริโกร์แบบตามเข็มนาฬิกา (ข) วงจรชัมมิตต์ทริโกร์แบบทวน  
 เข็มนาฬิกา



(n)



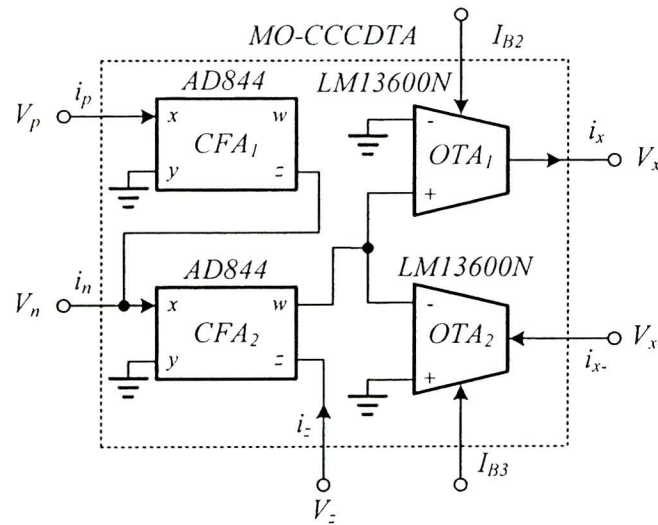
(u)

ภาพที่ 4-13 ขนาดของสัญญาณเอาต์พุต เมื่อเปลี่ยนแปลง  $I_{B2}$  จาก  $0\mu\text{A}$  ถึง  $2mA$  ของ  
 (ก) วงจรชัมิตต์ทริกเกอร์แบบทวนเข็มนาฬิกา (ข) วงจรชัมิตต์ทริกเกอร์แบบตาม  
 เข็มนาฬิกา

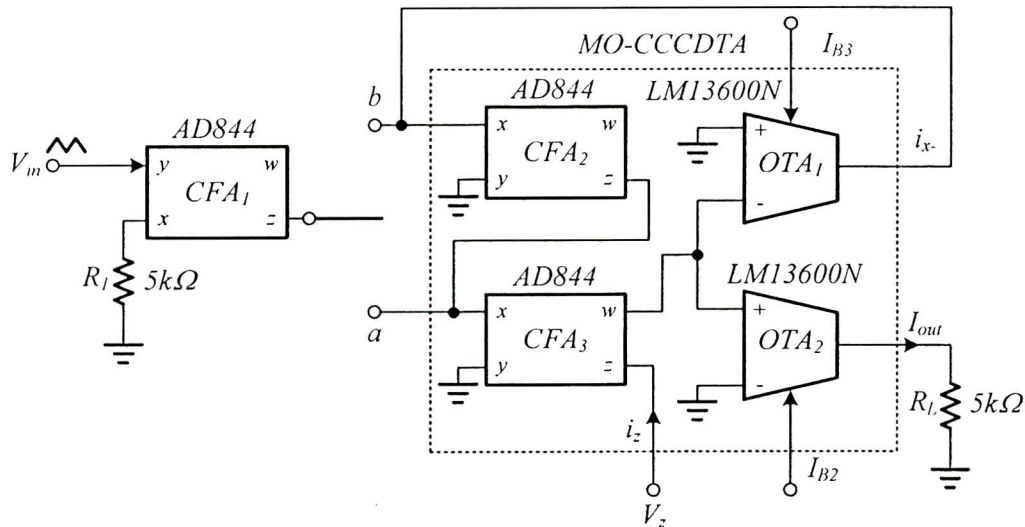
ส่วนภาพที่ 4-13 แสดงขนาดตัวอย่างของห้องส่องวังจร เมื่อเปลี่ยนแปลง  $I_{B2}$  จาก  $0\mu A$  ถึง  $2mA$  จะเห็นได้อย่างชัดเจนว่า ขนาดและกระแสขีดเริ่มของห้องส่องวังสามารถควบคุมได้ด้วย  $I_{B2}$  และ  $I_{B3}$  ตามลำดับ ซึ่งสอดคล้องกับสมการที่ (3-9) ถึง (3-11) และ (3-13) ถึง (3-15) ที่ วิเคราะห์ไว้ในบทที่ 3 โดยกระแสขีดเริ่มด้านสูงและต่ำสามารถควบคุมได้ดังแต่  $1\mu A$  ถึง  $100\mu A$  ที่ขนาดของตัวอย่างอินพุตเท่ากับ  $100\mu A$  ส่วนขนาดของตัวอย่างสามารถควบคุมได้ ตั้งแต่  $50nA$  ถึง  $2mA$  จากผลการทดสอบบุณฑิตสามารถที่จะสรุปเป็นสมรรถนะของวงจรซึ่งต้องการให้ดังตารางที่ 4-1

ตารางที่ 4-1 คุณสมบัติทางไฟฟ้าโดยรวมของวงจรชนิดที่ทริกเกอร์ที่ได้จากการวิจัย

ตัวแปร	วงจรชนิดที่เกอร์แบบทวน เข็มนาฬิกา	วงจรชนิดที่เกอร์แบบตาม เข็มนาฬิกา
แหล่งจ่ายแรงดัน	$\pm 1.5V$	$\pm 1.5V$
อัตราการบริโภคกำลังไฟฟ้า $(I_{B1} = 60\mu A, I_{B2} = 50\mu A$ และ $I_{B3} = 10\mu A)$	$191 \mu W$	$235 \mu W$
แบนด์วิธที่ $-3dB$	$37.12MHz$	$35.61MHz$
อัตราคาดเคลื่อนของขนาด ตัวอย่างเอาร์พุตเมื่อเปลี่ยนแปลง อุณหภูมิ ( $0-100 ^\circ C$ )	$-0.645\%-1.226\%$	$-0.645\%-1.226\%$
ย่านการควบคุมกระแสขีดเริ่ม	$1\mu A-100\mu A @ I_{in}=100\mu A$	$1\mu A-100\mu A @ I_{in}=100\mu A$
ย่านการควบคุมขนาดตัวอย่าง เอาร์พุต	$50nA-2mA$	$50nA-2mA$



ภาพที่ 4-14 โครงสร้างของ MO-CCCDTA ที่สร้างจาก AD844 และ LM13600

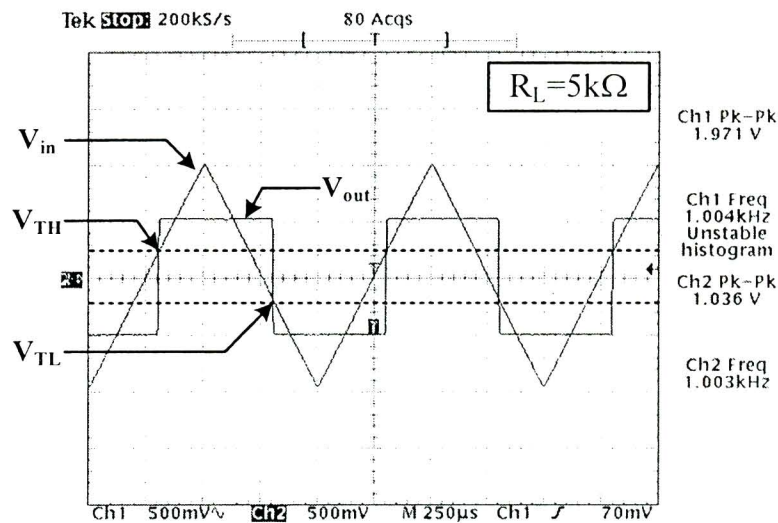


ภาพที่ 4-15 วงจรชนิต์ทริกเกอร์โหนดกระแสที่สร้างจาก AD844 และ LM13600

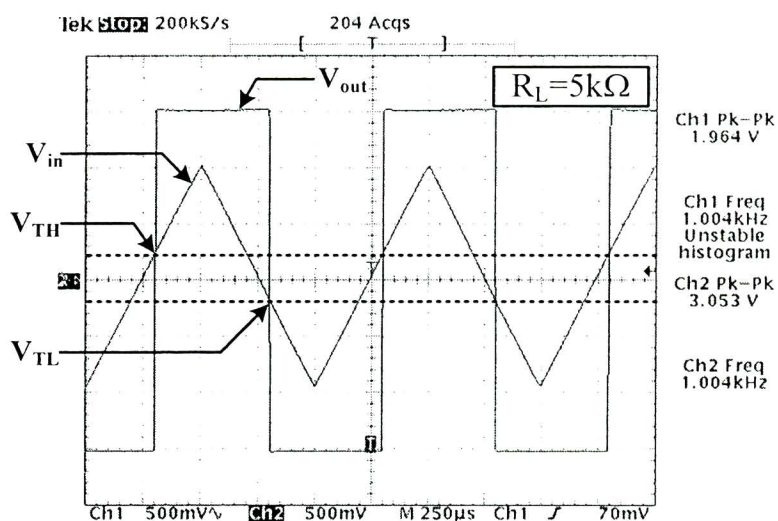
#### 4.1.2 ผลการทดลองการทำงานของวงจรชนิต์ทริกเกอร์ที่ใช้ MO-CCCDTA

เนื่องจาก  $R_p$  และ  $R_n$  ไม่ส่งผลต่อการทำงานของวงจรชนิต์ทริกเกอร์ที่ได้จากการวิจัย ด้วยเหตุผลดังกล่าว จึงสามารถสร้าง MO-CCCDTA ได้ด้วยวงจรรวมเบอร์ AD844 และ LM13600 ดังแสดงดังภาพที่ 4-14 ส่วนภาพที่ 4-15 แสดงวงจรชนิต์ทริกเกอร์ที่ได้จากการวิจัย โดยสร้างจาก

วงจรรวมเบอร์ AD844 และ LM13600 เมื่อ CFA<sub>1</sub> ทำหน้าที่แปลงสัญญาณอินพุตที่เป็นแรงดันให้เป็นกระแส และ  $R_L$  เป็นการเพื่อวัดสัญญาณเอาต์พุตที่เป็นแรงดันด้วยอสซิลโลสโคป



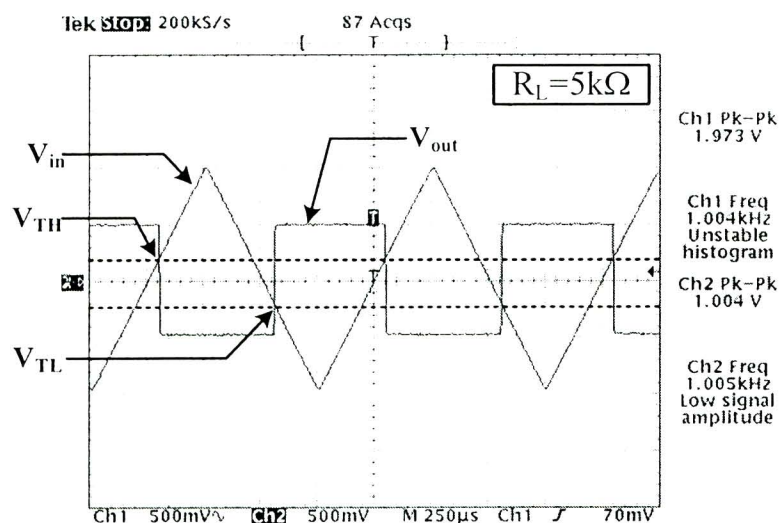
(η)



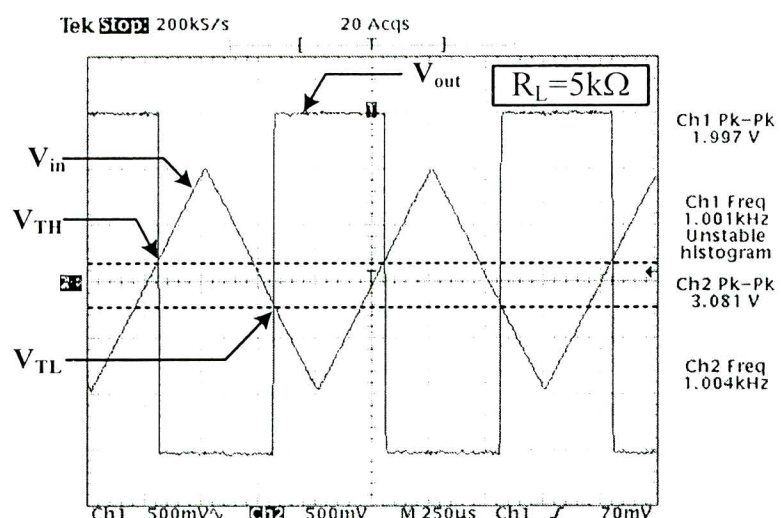
(ψ)

ภาพที่ 4-16 ผลการทดลองวงจรชัมิตต์ทริกเกอร์แบบหวานเข้มนาฬิกามีเมื่อเปลี่ยนแปลง  $I_{B2}$

(η)  $I_{B2} = 103\mu A$  (ψ)  $I_{B2} = 305\mu A$



(n)



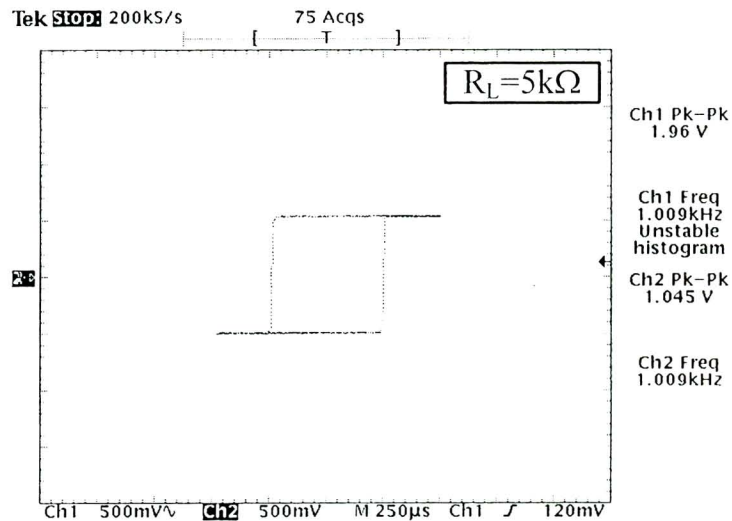
(ψ)

ภาพที่ 4-17 ผลการทดลองของวงจรซมิตต์ทริกเกอร์แบบตามเข็มนาฬิกาเมื่อเปลี่ยนแปลง  $I_{B2}$

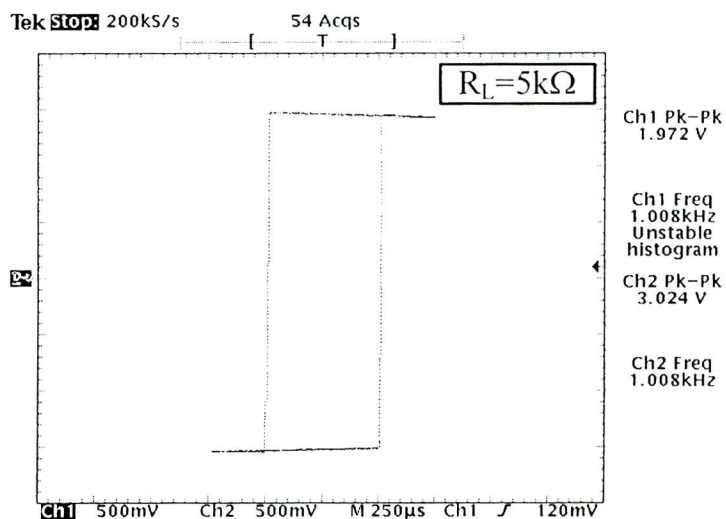
$$(n) I_{B2} = 100\mu A \quad (\psi) I_{B2} = 308\mu A$$

จากผลการทดลองที่แสดงในภาพที่ 4-16 ถึง 4-19 แสดงผลการทดลองของวงจรซมิตต์ทริกเกอร์แบบทวนเข็มนาฬิกาและตามเข็มนาฬิกาเมื่อเปลี่ยนแปลง  $I_{B2}$  จะเห็นได้อย่างชัดเจนว่า ขนาดของสัญญาณเอาต์พุตสามารถควบคุมได้ด้วย  $I_{B2}$  ซึ่งสอดคล้องกับผลการจำลองการทำงานและที่

วิเคราะห์ไว้ในบทที่ 3 ผลการทดลองของวงจรชัมิตต์ทริกเกอร์แบบทวนเข็มนาฬิกาและตามเข็มนาฬิกามีเปลี่ยนแปลง  $I_{B3}$  ที่แสดงในภาพที่ 4-20 ถึง 4-21 ตามลำดับ

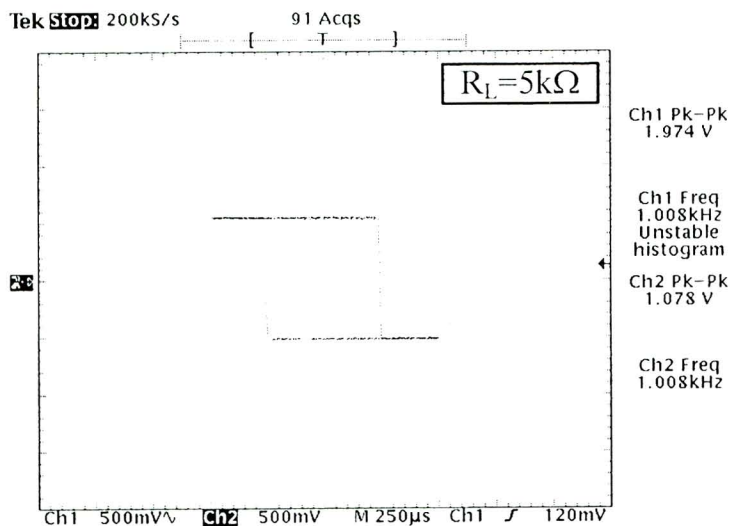


(n)

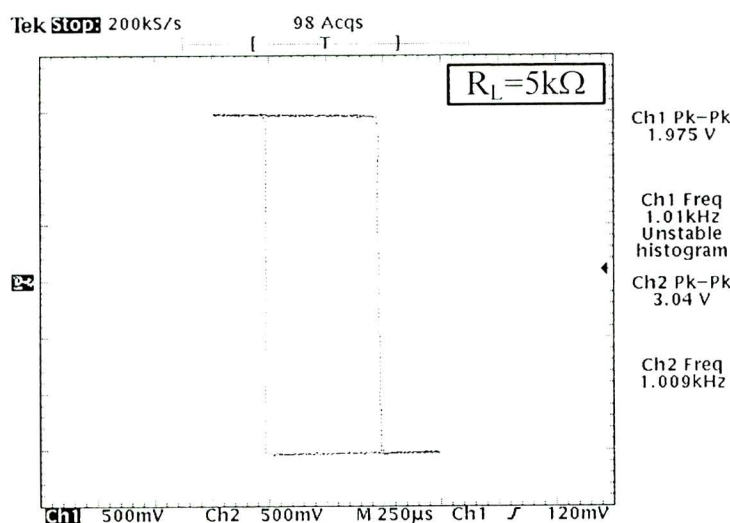


(u)

ภาพที่ 4-18 กราฟลักษณะสมบัติค่ายโอนทางไฟตรงของวงจรชัมิตต์ทริกเกอร์แบบทวนเข็มนาฬิกา เมื่อเปลี่ยนแปลง  $I_{B2}$  (ก)  $I_{B2} = 104\mu A$  (ข)  $I_{B2} = 302\mu A$



(n)

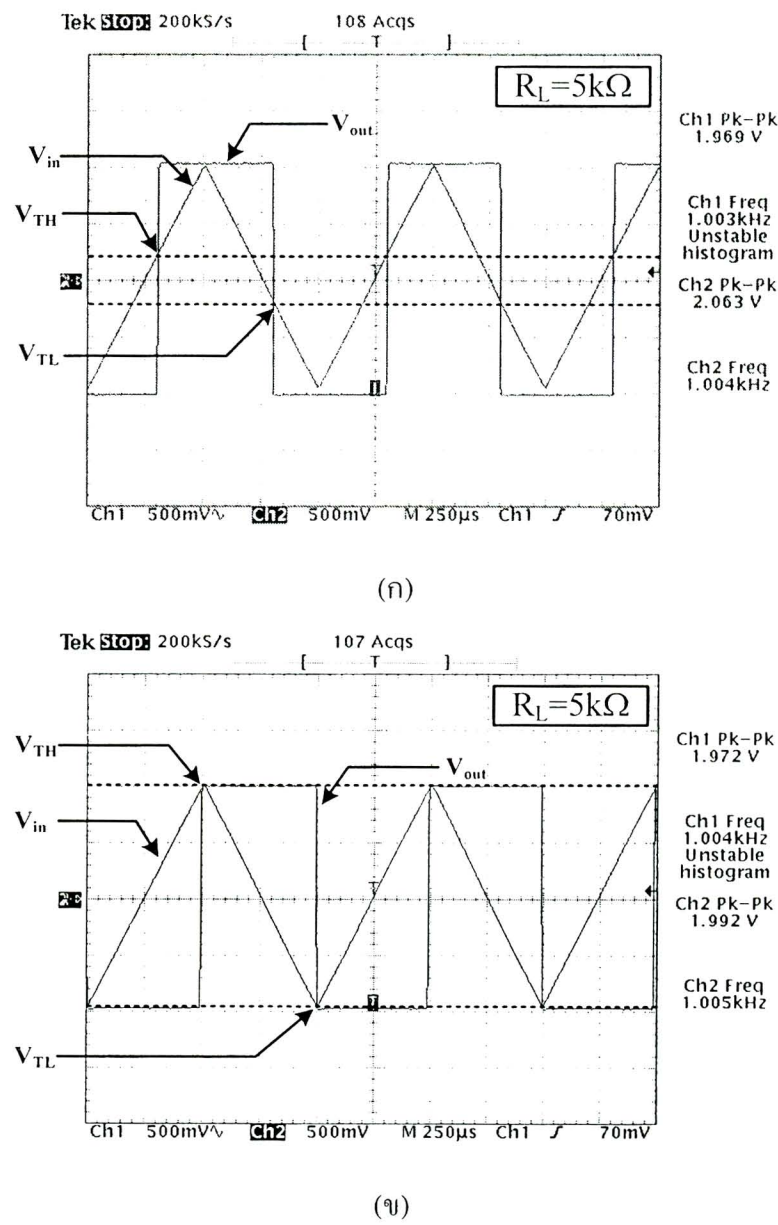


(ŋ)

ภาพที่ 4-19 กราฟลักษณะสมบัติถ่ายโอนทางไฟตรงของชั้นหมิต์ทริกเกอร์แบบตามเข็มนาฬิกา เมื่อเปลี่ยนแปลง  $I_{B2}$  (ก)  $I_{B2} = 104\mu A$  (ง)  $I_{B2} = 302\mu A$

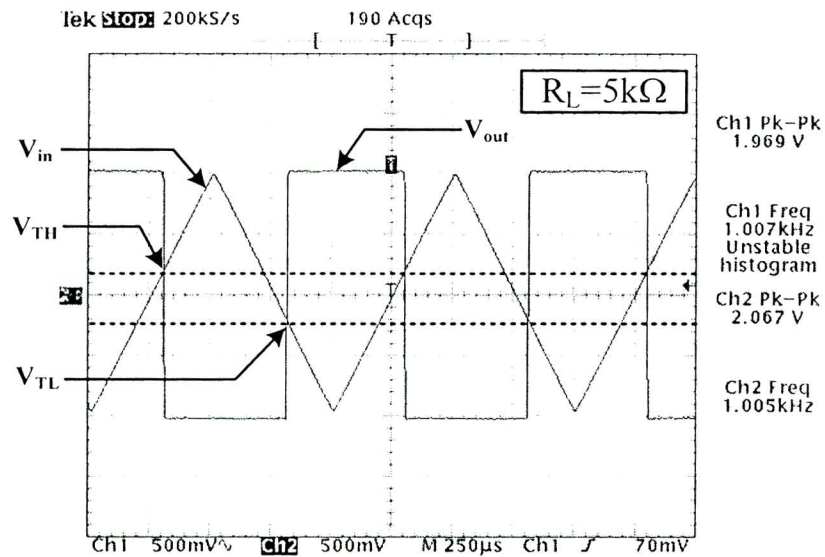
ภาพที่ 4-22 ถึง 4-23 แสดงกราฟลักษณะสมบัติถ่ายโอนทางไฟตรงของชั้นหมิต์ทริกเกอร์ทั้งสองแบบ เมื่อเปลี่ยนแปลง  $I_{B3}$  มีค่าเท่ากับ  $40\mu A$  และ  $180\mu A$  ซึ่งจากการทดลองในภาพที่ 4-16 ถึง 4-23 สามารถยืนยันได้ว่าขนาดของสัญญาณเอาต์พุตและกระแสขีดเริ่มด้านสูงและต่ำสามารถ

ควบคุมได้อ่าย่างเป็นอิสระจากกัน ด้วย  $I_{B2}$  และ  $I_{B3}$  ตามลำดับ ซึ่งสอดคล้องกับผลการจำลองการทำงานที่แสดงไว้ในหัวข้อที่ 4.1.1 และสมการที่ (3-9) ถึง (3-11) และ (3-13) ถึง (3-15) ที่วิเคราะห์ไว้ในบทที่ 3

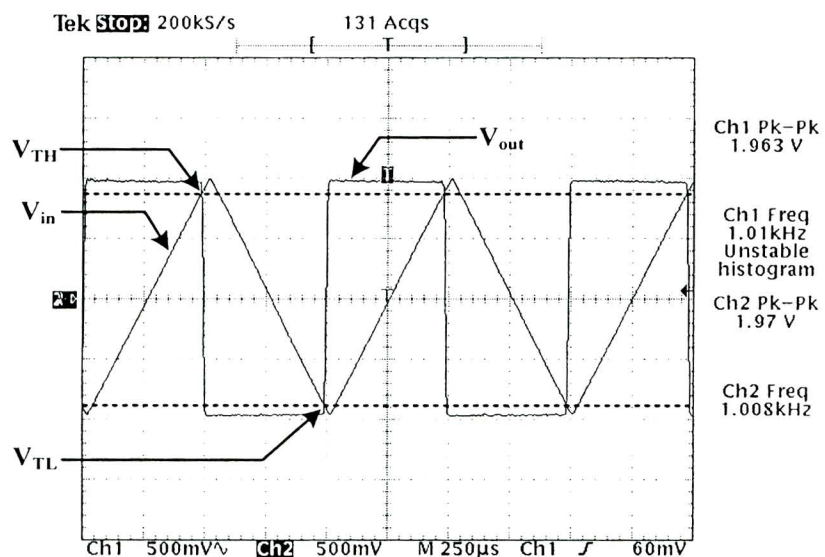


ภาพที่ 4-20 ผลการทดลองของวงจรมิตรต์ทริกเกอร์แบบทวนเข็มนาฬิกาเมื่อเปลี่ยนแปลง  $I_{B3}$

$$(n) I_{B3} = 40 \mu A \quad (u) I_{B3} = 190 \mu A$$



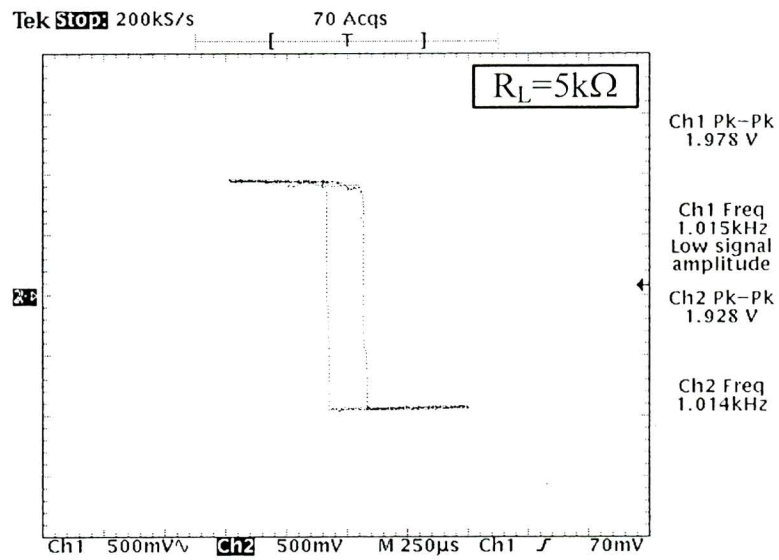
(η)



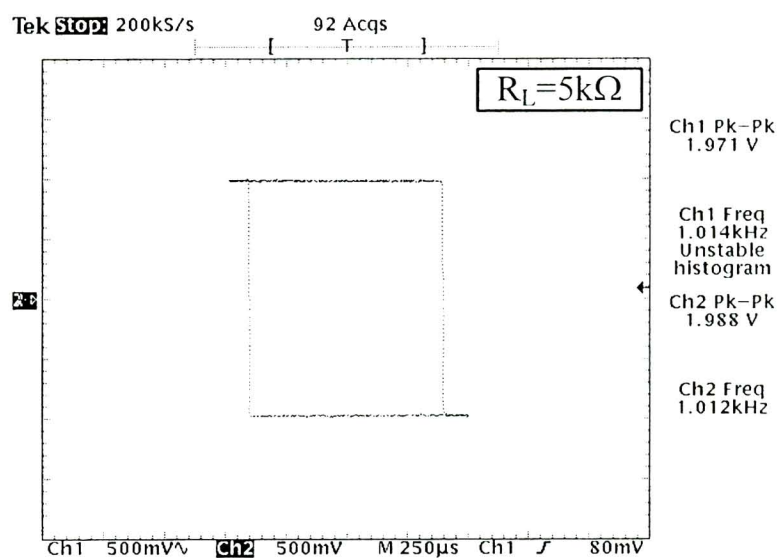
(υ)

ภาพที่ 4-21 ผลการทดลองวงจรซึมิตต์ทริกเกอร์แบบตามเข็มนาฬิกา

เมื่อเปลี่ยนแปลง  $I_{B3}$  (η)  $I_{B3} = 40\mu\text{A}$  (υ)  $I_{B3} = 190\mu\text{A}$

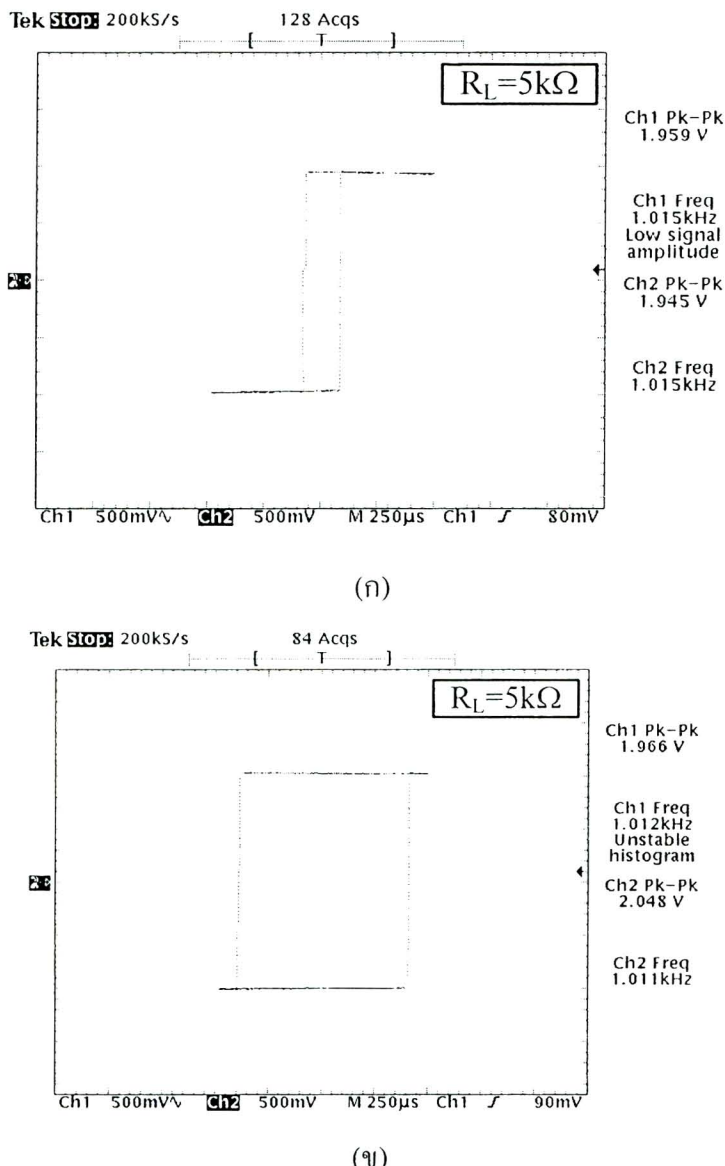


(n)



(ψ)

ภาพที่ 4-22 กราฟลักษณะสมบัติถ่ายโอนทางไฟตรงของวงจรซึ่มิต์ทริกเกอร์แบบตามเข็มนาฬิกา เมื่อเปลี่ยนแปลง  $I_{B3}$  (ก)  $I_{B3} = 40\mu A$  (ψ)  $I_{B3} = 180\mu A$

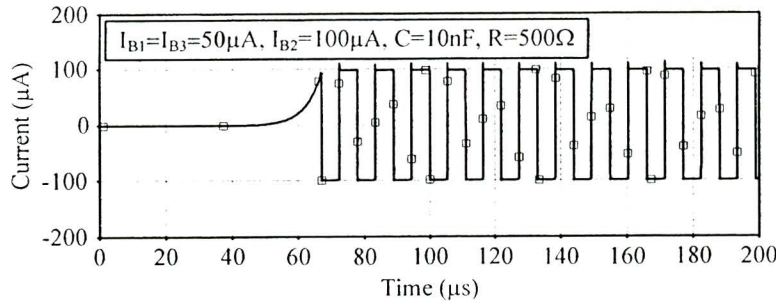


ภาพที่ 4-23 กราฟลักษณะสมบัติถ่ายโอนทางไฟครองของวงจรชัมมิต์ทริกเกอร์แบบทวนเข็มนาฬิกา เมื่อเปลี่ยนแปลง  $I_{B3}$  ที่ (n)  $I_{B3} = 40\mu A$  (u)  $I_{B3} = 180\mu A$

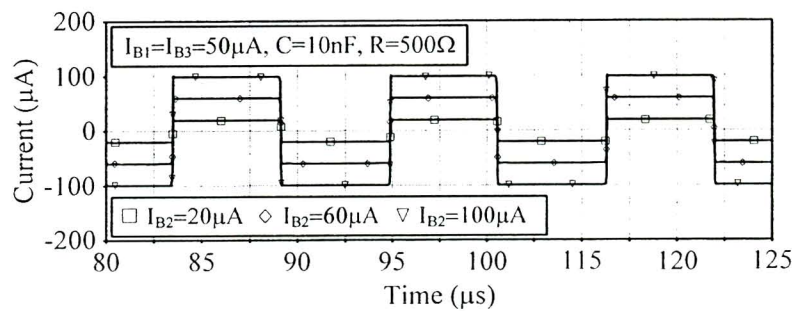
#### 4.2 ผลการจำลองการทำงานของวงจรประยุกต์ใช้งาน

##### 4.2.1 วงจรกำเนิดสัญญาณสี่เหลี่ยม ใหม่ด้วยกระแส

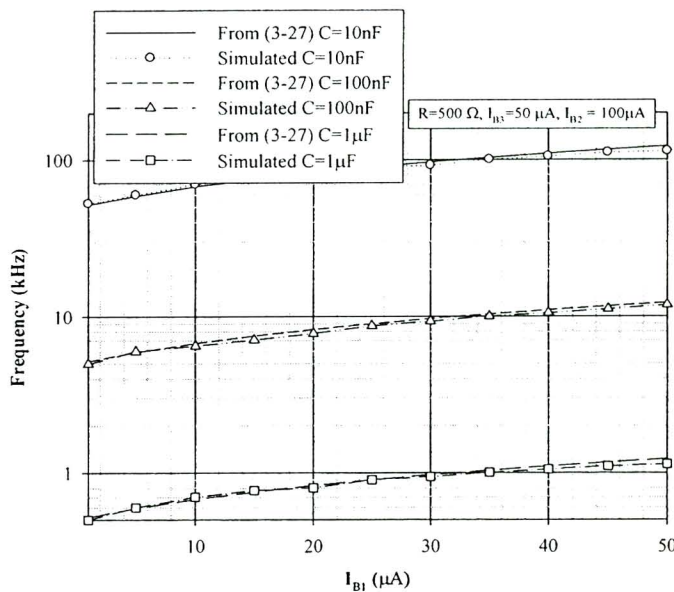
ผลการจำลองที่แสดงในหัวข้อนี้ เป็นผลการจำลองของวงจรกำเนิดสัญญาณสี่เหลี่ยม ใหม่ด้วยกระแสที่แสดงในภาพที่ 3-5 ส่วนภาพที่ 4-24 แสดงสัญญาณเอาต์พุตของวงจรกำเนิดสัญญาณสี่เหลี่ยม ใหม่ด้วยกระแสในสภาวะเริ่มต้น



ภาพที่ 4-24 สัญญาณเอาต์พุตของวงจรกำเนิดสัญญาณสี่เหลี่ยม โหนดกระแสในสภาวะเริ่มต้น



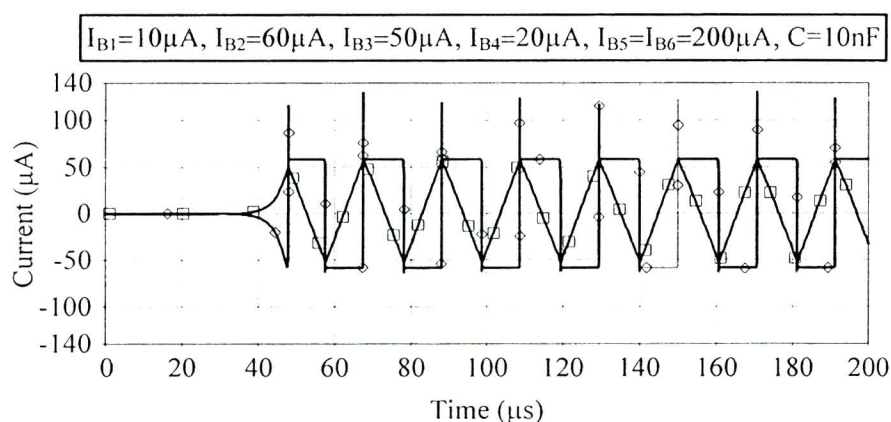
ภาพที่ 4-25 สัญญาณเอาต์พุตของวงจรกำเนิดสัญญาณสี่เหลี่ยม โหนดกระแสสแต็ปเมื่อเปลี่ยนแปลง  $I_{B2}$



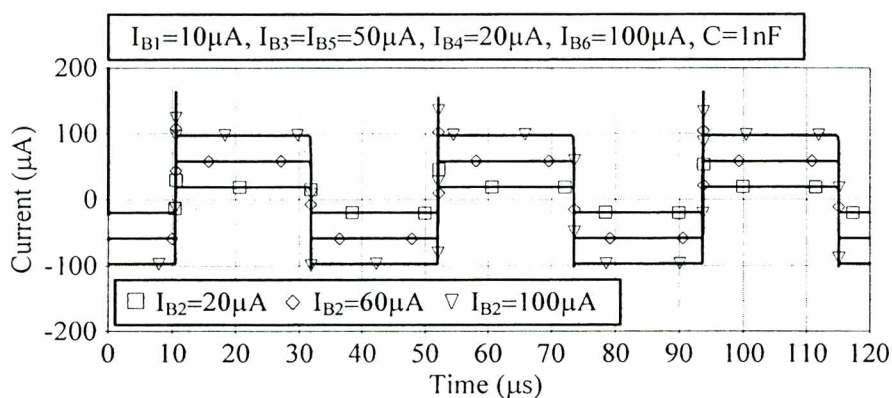
ภาพที่ 4-26 ความถี่ของการกำเนิดสัญญาณสี่เหลี่ยม เมื่อเปลี่ยนแปลง  $I_{B1}$  จาก  $0\mu A$  ถึง  $50\mu A$  ที่ตัวเก็บประจุค่าต่างๆ

ภาพที่ 4-25 แสดงสัญญาณเอาต์พุตของวงจรกำเนิดสัญญาณสี่เหลี่ยม โหนดกระแส เมื่อเปลี่ยนแปลง  $I_{B2}$  จะเห็นได้ว่าขนาดของสัญญาณเอาต์พุตสามารถควบคุมได้ด้วย  $I_{B2}$  และไม่ส่งผลกระทบต่อความถี่ และกราฟในภาพที่ 4-26 แสดงความถี่ของการกำเนิดสัญญาณสี่เหลี่ยม เมื่อ  $I_{B1}$  เปลี่ยนจาก  $0\mu A$  ถึง  $50\mu A$  ที่ตัวเก็บประจุค่าต่างๆ จากผลการจำลองสามารถนัยน์ยันได้ว่าความถี่ของสัญญาณเอาต์พุตสามารถควบคุมได้ด้วย  $I_{B1}$  และสอดคล้องกับสมการที่ (3-27) ที่วิเคราะห์ไว้

#### 4.2.2 วงจรกำเนิดสัญญาณสามเหลี่ยมและสี่เหลี่ยม โหนดกระแส

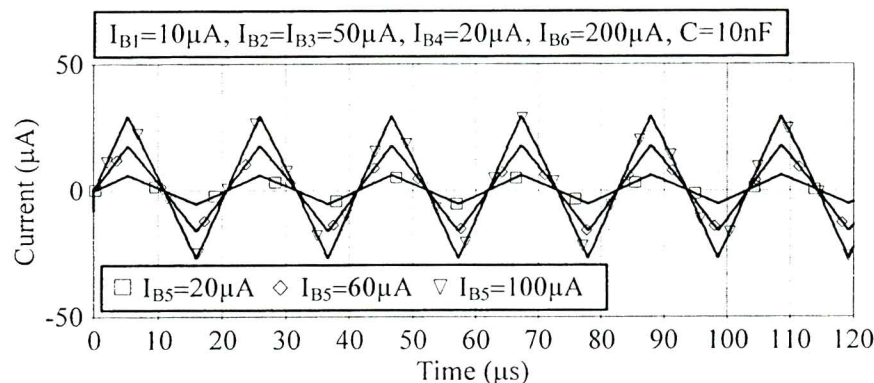


ภาพที่ 4-27 สัญญาณสามเหลี่ยมและสี่เหลี่ยมในสภาวะเริ่มต้น

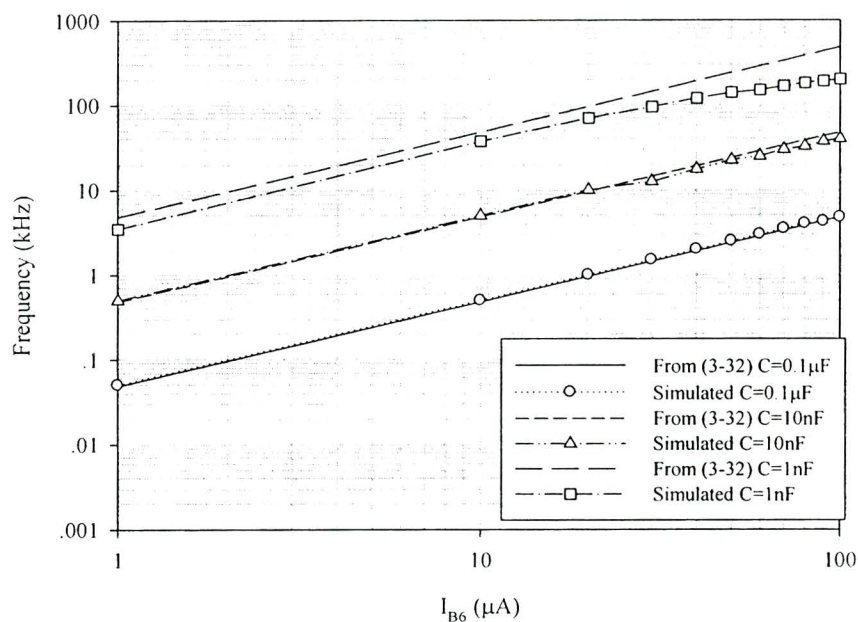


ภาพที่ 4-28 สัญญาณสี่เหลี่ยมเอาต์พุต เมื่อเปลี่ยนแปลง  $I_{B2}$  โดยกำหนดให้ขั้มการกำเนิดสัญญาณช่วงเริ่มต้น

ผลการจำลองการทำงานหัวข้อนี้เป็นของวงจรกำเนิดสัญญาณสามเหลี่ยมและสี่เหลี่ยมโใหมด กระแสสัญญาณดังแสดงในภาพที่ 3-6 สัญญาณสามเหลี่ยมและสี่เหลี่ยมในสภาวะเริ่มต้น ได้แสดง ในภาพที่ 4-27



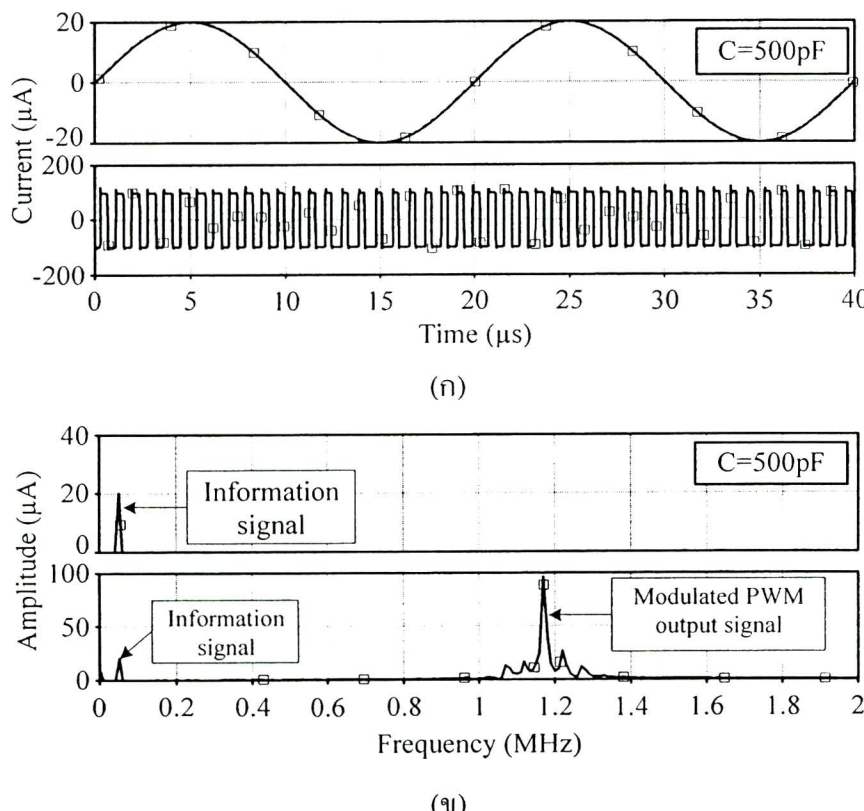
ภาพที่ 4-29 สัญญาณสามเหลี่ยมเอาต์พุต เมื่อเปลี่ยนแปลง  $I_{B5}$  โดยกำหนดให้ขั้นการกำเนิด สัญญาณช่วงเริ่มต้น



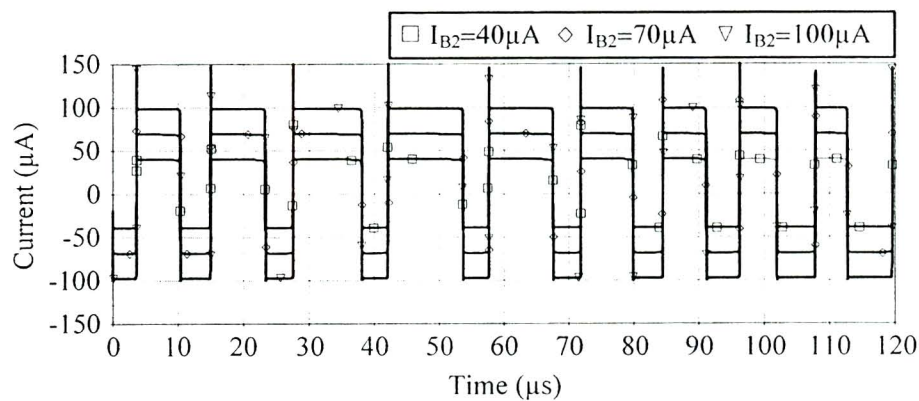
ภาพที่ 4-30 ความถี่ของการกำเนิดสัญญาณสามเหลี่ยมและสี่เหลี่ยม เมื่อเปลี่ยนแปลง  $I_{B6}$  จาก  $1\mu A$  ถึง  $100\mu A$  ที่ตัวเก็บประจุค่าต่างๆ

ภาพที่ 4-28 และ 4-29 แสดงสัญญาณสี่เหลี่ยม เมื่อเปลี่ยนแปลง  $I_{B_2}$  และสัญญาณสามเหลี่ยมเมื่อเปลี่ยนแปลง  $I_{B_5}$  ตามลำดับ จะเห็นได้ว่าขนาดของสัญญาณสี่เหลี่ยมและสามเหลี่ยมสามารถปรับได้ด้วย  $I_{B_2}$  และ  $I_{B_5}$  ตามลำดับ และภาพที่ 4-30 แสดงกราฟความถี่ของการกำเนิดสัญญาณสามเหลี่ยมและสี่เหลี่ยม เมื่อ  $I_{B_6}$  เปลี่ยนจาก  $0\mu A$  ถึง  $50\mu A$  ที่ตัวเก็บประจุค่าต่างๆ จากผลการจำลองสามารถยืนยันได้ว่าความถี่ของสัญญาณสามเหลี่ยมและสี่เหลี่ยมสามารถควบคุมได้ด้วย  $I_{B_6}$  ซึ่งสอดคล้องกับสมการที่ (3-32) ที่วิเคราะห์ไว้และ ความถี่สูงสุดที่สามารถควบคุมได้ดังแสดงในภาพที่ 4-30 อยู่ที่  $202\text{kHz}$

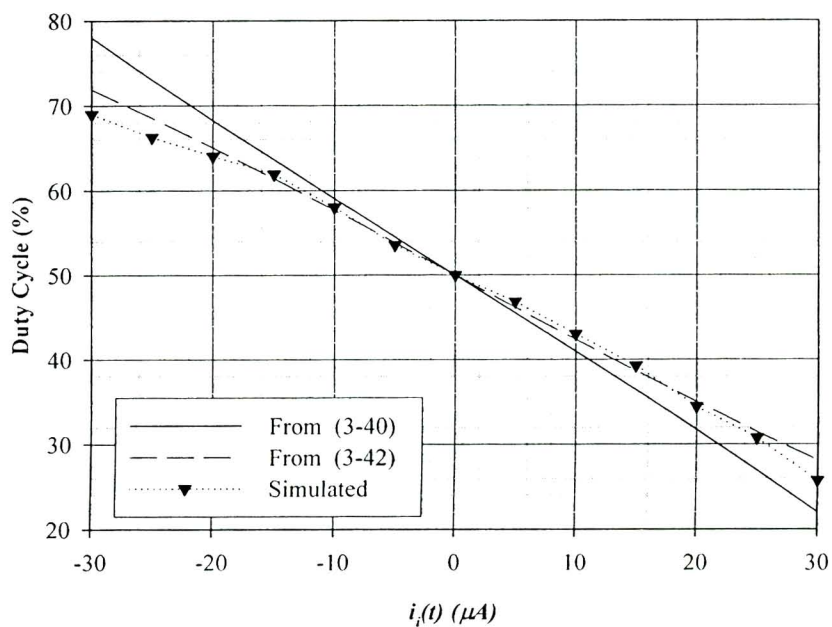
#### 4.2.3 วงจรmodulatorความกว้างพัลส์ใหม่กระแส



ภาพที่ 4-31 สัญญาณอินพุตเทียบกับสัญญาณเอาต์พุตของ (a) โอดเมนของเวลา (b) โอดเมนของความถี่



ภาพที่ 4-32 สัญญาณเอาต์พุตของวงจรมอคูเดตความกว้างพัลส์ เมื่อเปลี่ยนค่ากระแส  $I_{B2}$

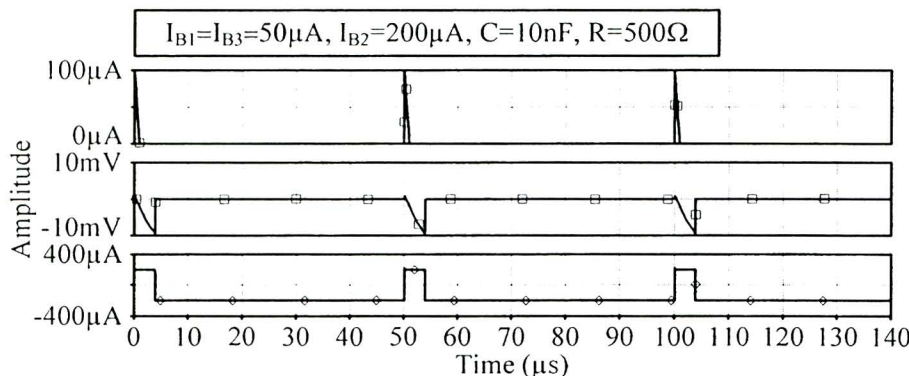


ภาพที่ 4-33 ค่าดิวตี้ไซเกิล เมื่อเปลี่ยนแปลง  $i_i$  จาก  $-30 \mu A$  ถึง  $30 \mu A$

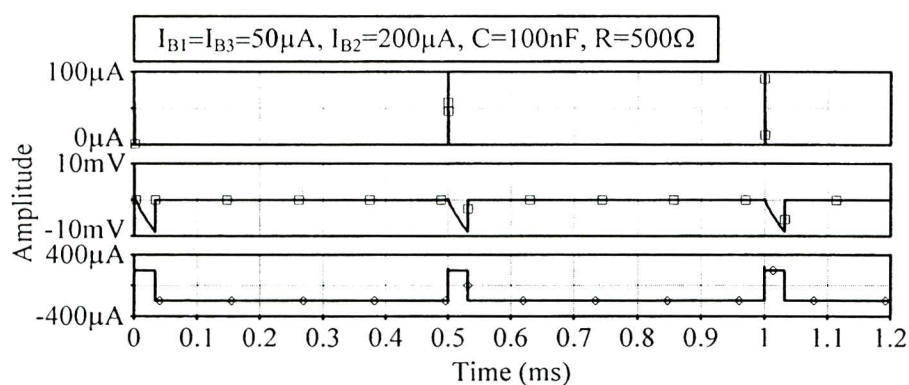
ผลการจำลองการทำงานของวงจรมอคูเดตความกว้างพัลส์ใหม่ค่ากระแสที่แสดงไว้ในภาพที่ 3-7 ได้แสดงในหัวข้อนี้ ภาพที่ 4-31 (ก) และ(ข) แสดงสัญญาณอินพุตเทียบกับสัญญาณเอาต์พุตที่โดยเน้นของเวลาและความถี่ ตามลำดับ จะเห็นได้ว่าสัญญาณเอาต์พุตจะประกอบด้วยสองความถี่คือ ความถี่ที่บ่าวสารและความถี่พาห์ เมื่อต้องการถูกความถี่บ่าวสารกลับมา สามารถทำได้โดย

ใช้งานร่องความถี่ต่ำผ่านเพื่อถูกความถี่ข่าวสารกลับมา ส่วนภาพที่ 4-32 แสดงสัญญาณเอาต์พุต เมื่อเปลี่ยนค่ากระแส  $I_{B_2}$  จากผลการจำลองการทำงานสามารถดูยืนยันได้ว่า ขนาดของสัญญาณเอาต์พุตสามารถปรับได้ด้วย  $I_{B_2}$  โดยไม่ส่งผลกระทบกับค่าดิวตี้ไซเกิลและความถี่ และผลการจำลองการทำงานในภาพที่ 4-33 แสดงการเปลี่ยนของค่าดิวตี้ไซเกิล เมื่อเปลี่ยนแปลงค่า  $i$  จาก  $-30\mu A$  ถึง  $30\mu A$  ค่าดิวตี้ไซเกิลจะเปลี่ยนแปลงไปตามขนาดของ  $i$ , ซึ่งสอดคล้องกับสมการที่ (3-40) และ (3-42) ที่วิเคราะห์ไว้และเมื่อขนาดของ  $i$  มีค่าเท่ากับศูนย์ ค่าดิวตี้ไซเกิลจะมีค่าเท่ากับ 50% ซึ่งเป็นลักษณะทางเอาต์พุตของวงจร模倣เดตความกว้างพัลส์ทั่วไป

#### 4.2.4 วงจรโนนสเตเบิลมัลติไวนเบรเตอร์โหนดกระแส

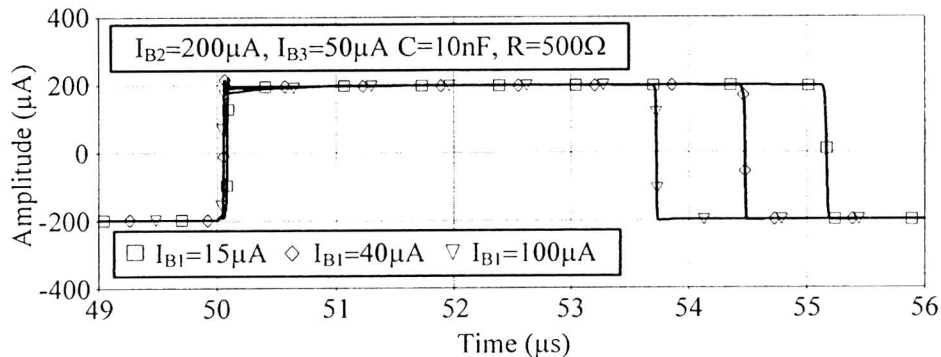


(ก)

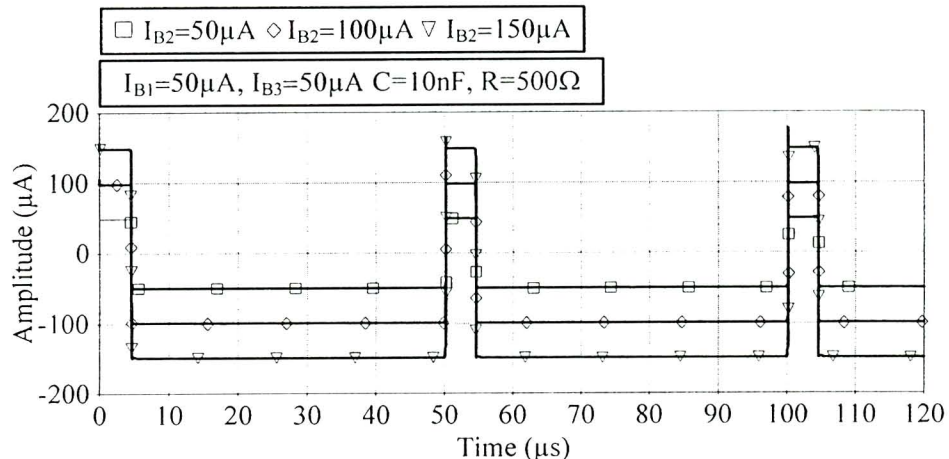


(ข)

ภาพที่ 4-34 สัญญาณเอาต์พุตที่จุดต่างของวงจรโนนสเตเบิลมัลติไวนเบรเตอร์ เมื่อเปลี่ยนแปลงค่า  $T$  (ก)  $3.85\mu s$  (ข)  $197.5\mu s$



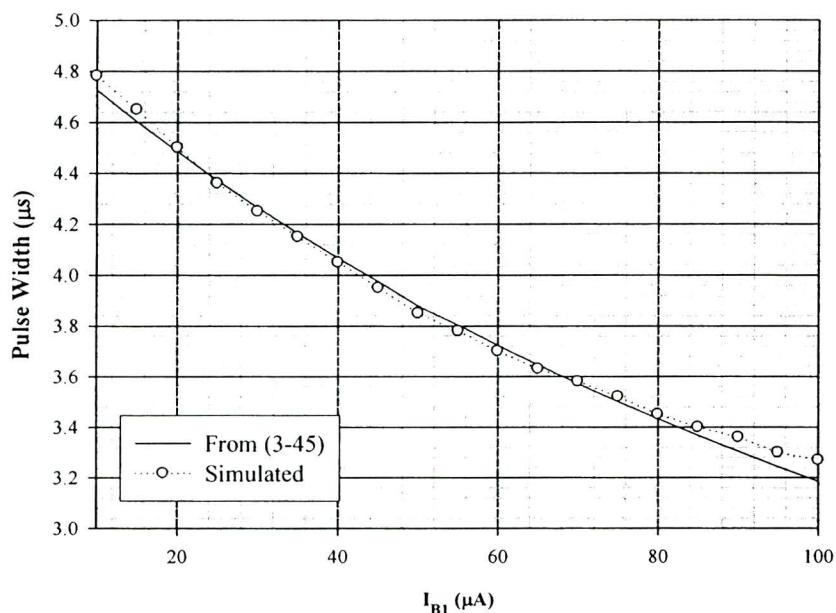
ภาพที่ 4-35 สัญญาณเอาต์พุตของวงจร โนโนสเตเบิลมัลติไวนิเตอร์ เมื่อเปลี่ยนแปลงค่า  $I_{B1}$



ภาพที่ 4-36 สัญญาณเอาต์พุตของวงจร โนโนสเตเบิลมัลติไวนิเตอร์ เมื่อเปลี่ยนแปลงค่า  $I_{B2}$

หัวข้อนี้แสดงผลการจำลองของวงจร โนโนสเตเบิลมัลติไวนิเตอร์ ใหม่โดยการแสดงในภาพที่ 3-8 ผลการจำลองในภาพที่ 4-34(ก) และ(ข) แสดงสัญญาณเอาต์พุตที่จุดต่างของวงจร โนโนสเตเบิลมัลติไวนิเตอร์ เมื่อเปลี่ยนแปลงค่า  $T$  เท่ากับ  $3.85 \mu\text{s}$  และ  $197.5 \mu\text{s}$  ตามลำดับ ซึ่งประกอบด้วยสัญญาณกระแสตื้น แรงดันตกคร่อมตัวเก็บประจุ และสัญญาณเอาต์พุต ส่วนสัญญาณเอาต์พุตของวงจร โนโนสเตเบิลมัลติไวนิเตอร์ เมื่อเปลี่ยนแปลงค่า  $I_{B1}$  ที่แสดงไว้ในภาพที่ 4-35 จะเห็นได้อีกว่าชัดเจนว่า ขนาดความกว้างของสัญญาณพัลส์สามารถควบคุมได้ด้วย  $I_{B1}$  และไม่มีผลต่อนาดของสัญญาณเอาต์พุต และภาพที่ 4-36 แสดงสัญญาณเอาต์พุต เมื่อเปลี่ยนแปลงค่า  $I_{B2}$

จากผลการจำลองพบว่าขนาดของสัญญาณเอาต์พุตสามารถปรับได้ด้วย  $I_{B2}$  และไม่ส่งผลกระทบต่อความกว้างของสัญญาณพัลส์ ภาพที่ 4-37 แสดงการเปลี่ยนแปลงของความกว้างของสัญญาณพัลส์ เมื่อเปลี่ยนแปลงค่า  $I_{B1}$  พบว่าขนาดความกว้างของสัญญาณพัลส์เปลี่ยนแปลงไปตามขนาดของ  $I_{B1}$  ซึ่งสอดคล้องกับที่วิเคราะห์ไว้ในสมการที่ (3-45)



ภาพที่ 4-37 ความกว้างของสัญญาณพัลส์ เมื่อเปลี่ยนแปลงค่า  $I_{B1}$  จาก  $10\mu A$  ถึง  $100\mu A$

### 4.3 สรุป

ในบทนี้ได้แสดงผลการจำลองการทำงานของวงจรชีวนิตร์ทริกเกอร์และวงจรประยุกต์ใช้งานซึ่งประกอบด้วย วงจรกำเนิดสัญญาณสี่เหลี่ยม วงจรกำเนิดสัญญาณสามเหลี่ยมและสี่เหลี่ยม วงรอนคูเลตความกว้างพัลส์ และวงจรโนมโนสเตเบิลมัลติไவเบรเตอร์ ด้วยโปรแกรม PSpice ที่ได้ออกแบบไว้ในบทที่ 3 จากการจำลองพบว่างการทำงานได้สอดคล้องกับที่คาดการณ์ไว้ตามทฤษฎีโดยทุกวงจรสามารถควบคุมการทำงานได้ด้วยวิธีทางอิเล็กทรอนิกส์ ทำให้สามารถนำไปประยุกต์ใช้กับระบบควบคุมอัตโนมัติ ที่ใช้ในโทรศัพท์เคลื่อนที่ รวมถึงวงจรชีวนิตร์ทริกเกอร์ที่ได้จากการ

วิจัยมีอัตราการบริโภคพลังงาน  $235 \mu\text{W}$  และ  $191 \mu\text{W}$  ที่เหลือจ่ายกำลังไฟฟ้า  $\pm 1.5\text{V}$  และสามารถทำงานได้ในย่านความถี่สูงถึงระดับเมกะเฮิรตซ์